

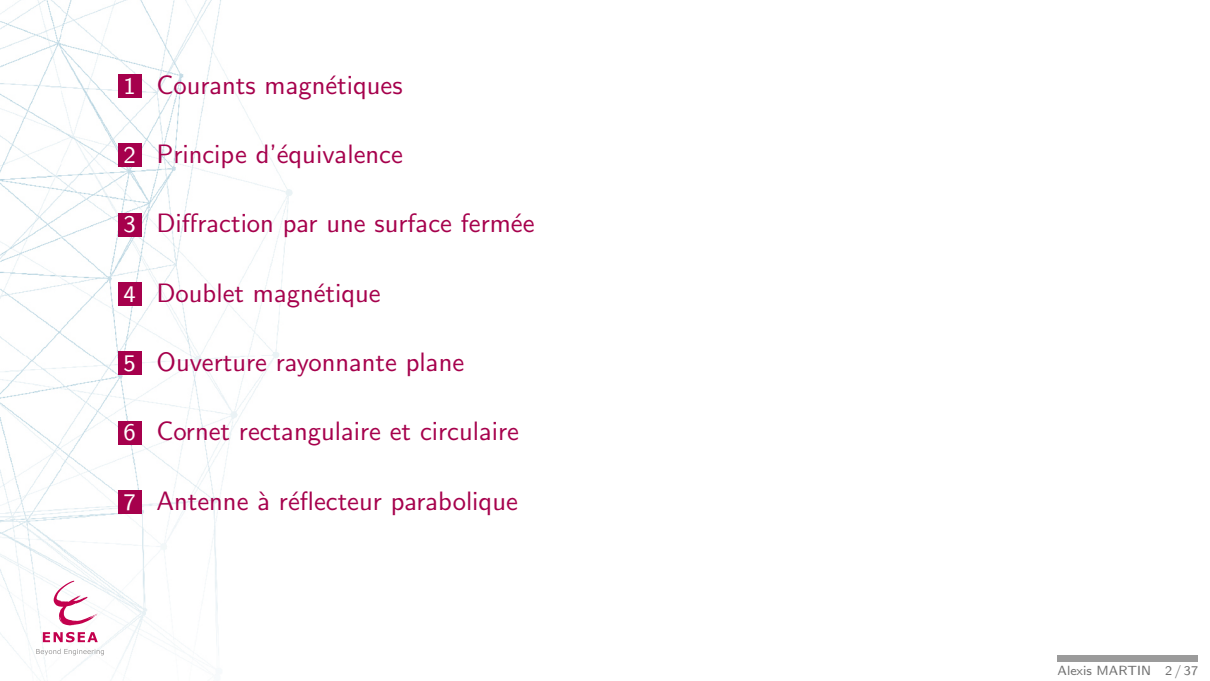


# ANTENNES – ESC

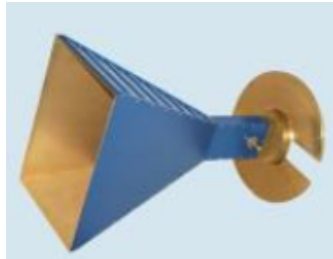
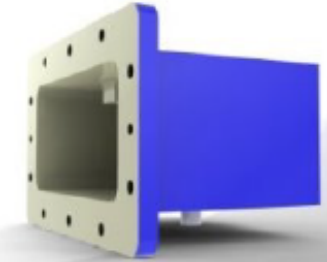
Cours 4: Antennes à ouverture

Alexis MARTIN

2025

- 
- 1** Courants magnétiques
  - 2** Principe d'équivalence
  - 3** Diffraction par une surface fermée
  - 4** Doublet magnétique
  - 5** Ouverture rayonnante plane
  - 6** Cornet rectangulaire et circulaire
  - 7** Antenne à réflecteur parabolique

## Exemples d'antennes à ouverture



Les antennes comportant un réflecteur font partie de cette catégorie d'antennes:

# Courants magnétiques

On pourrait supposer, par souci de symétrie, l'existence de courants magnétiques:

$\vec{M}$ : densité de courant magnétique  
 $\tau$ : densité de charge magnétique

Avec ces courants magnétiques, les équations de Maxwell deviendraient:

$$\vec{\text{rot}}(\vec{E}) = -\vec{M} - j\omega\mu\vec{H}$$

$$\vec{\text{rot}}(\vec{H}) = \vec{J} + j\omega\varepsilon\vec{E}$$

## Symétrie E < - > H et J < - > M

Partant de:  $\vec{rot}(\vec{E}_1) = -j\omega\mu\vec{H}_1$   
 $\vec{rot}(\vec{H}_1) = \vec{J}_1 + j\omega\varepsilon\vec{E}_1$

Et en faisant les changements de variables:

$$\vec{E}_1 = \eta\vec{H}_2 \quad ; \quad \vec{H}_1 = -\frac{\vec{E}_2}{\eta} \quad ; \quad \vec{J}_1 = \frac{\vec{M}_2}{\eta}$$

On obtient:  $\vec{rot}(\vec{E}_2) = \vec{M}_2 - j\omega\mu\vec{H}_2$   
 $\vec{rot}(\vec{H}_2) = j\omega\varepsilon\vec{E}_2$

Des courants magnétiques peuvent donc créer des champs identiques à ceux créés par une répartition de courant électrique, à condition d'échanger les champs E et H

# Potentiel vecteur magnétique

Comme  $\vec{\text{rot}}(\vec{H}_2) = j\omega\epsilon\vec{E}_2$  alors,  $\text{div}(\vec{\text{rot}}(\vec{H}_2)) = \text{div}(j\omega\epsilon\vec{E}_2) = 0$ .

On a donc  $\text{div}(\vec{E}_2) = 0$ .

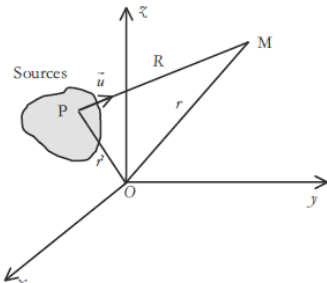
De même que pour les courants électriques, on peut définir un potentiel vecteur magnétique  $\vec{F}$  pour des courants magnétiques tel que:  $\vec{D} = \vec{\text{rot}}(\vec{F})$

L'équation de propagation du potentiel vecteur magnétique est:

$$\Delta \vec{F} + k^2 \frac{\partial^2 \vec{F}}{\partial t^2} = -\epsilon \vec{M}$$

La solution de cette équation est:

$$\vec{F}(\vec{r}) = \frac{\epsilon}{4\pi} \iiint_{\text{sources}} \vec{M}(\vec{r}') \frac{e^{-jkR}}{R} dV'$$



# Rayonnement d'une source quelconque de courants magnétiques

On note  $\Psi(\vec{r}) = \frac{e^{-jk||\vec{r}||}}{||\vec{r}||}$

$$\vec{F}(\vec{r}) = \frac{\epsilon}{4\pi} \iiint_{sources} \vec{M}(\vec{r}') \Psi(\vec{r} - \vec{r}') dV'$$

On en déduit le champ magnétique rayonné:

$$\vec{H} = \frac{1}{j\omega\epsilon\mu} \left( \vec{grad}(div(\vec{F})) + k^2 \vec{F} \right)$$

Et le champ électrique rayonné:

$$\vec{E} = -\frac{1}{\epsilon} \vec{rot}(\vec{F})$$

# Rayonnement en champ lointain

De même que pour les courants électriques, en champ lointain on peut faire l'approximation:

- Pour les phases:  $\|\vec{r} - \vec{r}'\| \approx \|\vec{r}\| - \vec{e}_r \cdot \vec{r}'$
- Pour les amplitudes:  $\|\vec{r} - \vec{r}'\| \approx \|\vec{r}\|$

$$\Psi(\vec{r} - \vec{r}') \approx \frac{e^{-jk\|\vec{r}\|}}{\|\vec{r}\|} e^{jk \cdot \vec{e}_r \cdot \vec{r}'}$$

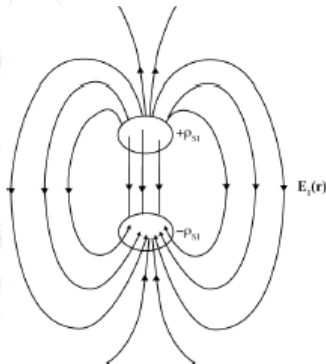
$$\vec{F}(\vec{r}) \approx \frac{\epsilon}{4\pi} \frac{e^{-jk\|\vec{r}\|}}{\|\vec{r}\|} \iiint_{sources} \vec{M}(\vec{r}') e^{jk \cdot \vec{e}_r \cdot \vec{r}'} dV'$$

On peut également montrer que:

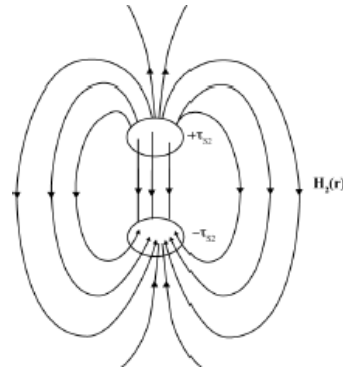
$$\vec{H}(\vec{r}) \approx j\omega \vec{e}_r \wedge (\vec{e}_r \wedge \vec{F}(\vec{r}))$$

$$\vec{E}(\vec{r}) \approx j\omega \eta (\vec{e}_r \wedge \vec{F}(\vec{r}))$$

# Situations “équivalentes”



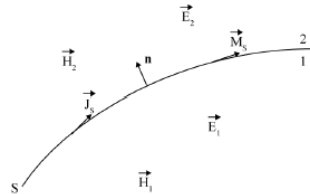
Champ électrique créé par 2 disques de charges électriques



Champ magnétique créé par 2 disques de charges magnétiques = champ d'un aimant permanent?

# Conditions aux limites

Soit  $S$  une surface de discontinuité entre 2 matériaux:



A la traversée de  $S$ , les champs sont discontinus, et l'on a:

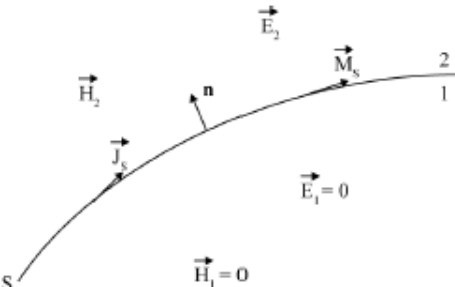
$$\vec{J}_S = \vec{n} \wedge (\vec{H}_2 - \vec{H}_1)$$

$$\vec{M}_S = -\vec{n} \wedge (\vec{E}_2 - \vec{E}_1)$$

# Principe d'équivalence

En l'absence de discontinuité des propriétés des matériaux, les champs sont continus à la traversée de  $S$ , et les courants surfaciques sont donc nuls.

Mais, si l'on souhaite calculer le champ du côté 2 uniquement, on peut remplacer le problème réel par un problème fictif où les champs seraient nuls du côté 1, mais avec l'existence de courants surfaciques, prenant en compte la discontinuité réelle.



$$\vec{J}_S = \vec{n} \wedge \vec{H}_1$$

$$\vec{M}_S = -\vec{n} \wedge \vec{E}_1$$

# Principe d'équivalence

Dans la situation fictive équivalente, nous sommes en présence de courants électriques et de courants magnétiques portés par la surface.

Ainsi retrouve-t-on la notion de courant magnétique, dans les logiciels de calcul de champ: ces courants magnétiques permettent souvent de remplacer une situation complexe réelle, par une situation fictive, plus simple, mais qui comporte des courants magnétiques.

## Diffraction par une surface fermée

Si  $S$  est une surface fermée, le principe d'équivalence permet de calculer le problème de diffraction, et les champs à l'extérieur de  $S$  sont donnés par:

$$\vec{E}(\vec{r}) = \frac{1}{j4\pi\omega\epsilon} \left[ \vec{\text{grad}}(\text{div}(\ )) + k^2 \right] \iint_S \vec{J}_S(\vec{r}') \Psi(\vec{r}-\vec{r}') d^2 r' - \frac{1}{4\pi} \vec{rot} \iint_S \vec{M}_S(\vec{r}') \Psi(\vec{r}-\vec{r}') d^2 r'$$
$$\vec{H}(\vec{r}) = \frac{1}{j4\pi\omega\mu} \left[ \vec{\text{grad}}(\text{div}(\ )) + k^2 \right] \iint_S \vec{M}_S(\vec{r}') G(\vec{r}-\vec{r}') d^2 r' + \frac{1}{4\pi} \vec{rot} \iint_S \vec{J}_S(\vec{r}') G(\vec{r}-\vec{r}') d^2 r'$$

En cherchant la limite des expressions ci-dessus en champ lointain, on obtient les formules de Kottler:

$$\vec{E}(\vec{r}) \underset{r \rightarrow \infty}{\approx} \frac{je^{-jkr}}{2\lambda r} \left( \eta \cdot \iint_S \vec{e}_r \wedge \left[ (\vec{e}_r \wedge \vec{J}_S(\vec{r}')) \right] e^{jk\vec{e}_r \cdot \vec{r}'} d^2 r' + \iint_S \left[ \vec{e}_r \wedge \vec{M}(\vec{r}') \right] e^{jk\vec{e}_r \cdot \vec{r}'} d^2 r' \right)$$

$$\vec{H}(\vec{r}) = \frac{1}{\eta} \vec{e}_r \wedge \vec{E}(\vec{r})$$

# Diffraction par une surface fermée

Remarques:

Lorsque la surface  $S$  est un plan infini, on montre que les deux intégrales de la page précédente sont rigoureusement égales.

On montre aussi que ces deux intégrales sont égales pour toute surface fermée.

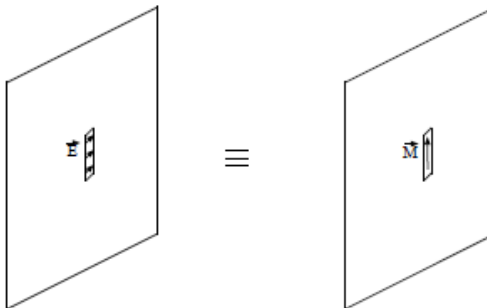
$$\vec{E}(\vec{r}) \underset{r \rightarrow \infty}{\approx} \frac{je^{-jkr}}{2\lambda r} \left( \eta \cdot \iint_S \vec{e}_r \wedge \left[ (\vec{e}_r \wedge 2\vec{J}_S(\vec{r}')) \right] e^{jke_r \cdot \vec{r}'} d^2 r' \right)$$

ou

$$\vec{E}(\vec{r}) \underset{r \rightarrow \infty}{\approx} \frac{je^{-jkr}}{2\lambda r} \left( \iint_S \left[ \vec{e}_r \wedge 2\vec{M}(\vec{r}') \right] e^{jke_r \cdot \vec{r}'} d^2 r' \right)$$

# Doublet magnétique

On étudie le rayonnement d'une "petite" fente de surface  $S$  (petite devant la longueur d'onde) sur laquelle on applique un champ électrique tangentiel:



Avec  $M = E$

# Rayonnement du doublet magnétique

On obtient (pour une fente “verticale”, portée par Oz):

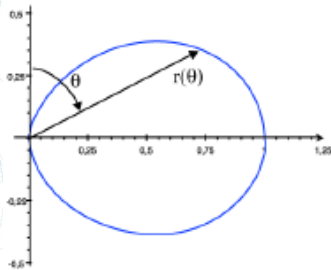
$$\vec{H}(\vec{r}) = \frac{j \cdot M \cdot S}{2 \cdot \eta \cdot \lambda} \frac{e^{-jkr}}{r} \sin \theta \cdot \vec{u}_\theta$$

Le rayonnement d'un doublet magnétique est donc obtenu à partir du rayonnement du doublet électrique en remplaçant les lignes de champs du champ électrique par celles du champ magnétique. Et plus précisément:

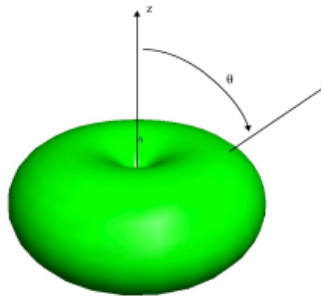
$$\begin{aligned} I \ l \rightarrow & M \ S \\ E \rightarrow & \eta \ H \end{aligned}$$

## Rayonnement du doublet magnétique

Les lignes de champ de E et H sont échangées, mais la puissance émise (par unité d'angle solide) varie de la même façon en fonction des directions:

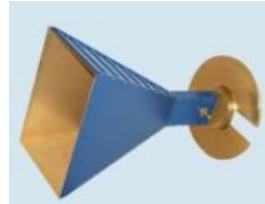


$$r(\theta, \varphi) = \sin^2 \theta$$

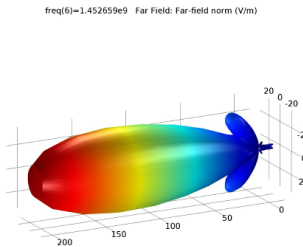
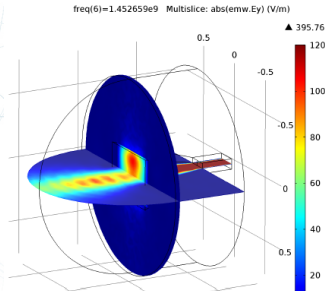


$$\text{Directivité: } D = \frac{3}{2}$$

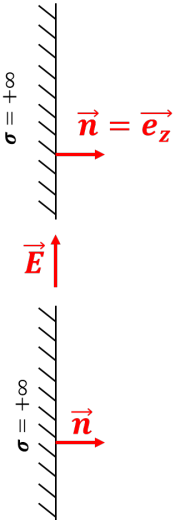
# Ouverture rayonnante plane



On peut calculer les propriétés de rayonnement d'une ouverture plane par la seule connaissance de la valeur du champ sur celle-ci:



# Ouverture rayonnante plane



Boundary conditions for a plane opening radiating source:

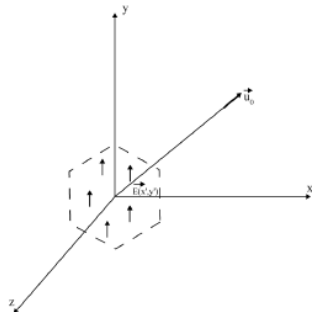
- Top boundary:  $\vec{J}_S = \vec{0}$ ,  $\vec{M}_S = \vec{0}$
- Middle boundary (indicated by three crossed circles):  $\vec{J}_S = \vec{0}$ ,  $\vec{M}_S = -2 \vec{n} \wedge \vec{E}$
- Bottom boundary:  $\vec{J}_S = \vec{0}$ ,  $\vec{M}_S = \vec{0}$

# Rayonnement à l'infini d'une ouverture plane

A l'infini, le champ électrique d'une ouverture plane dans le plan  $(\vec{x}; \vec{y})$  est donné par:

$$\vec{E}(\vec{r}) \underset{r \rightarrow \infty}{\approx} \frac{je^{-jkr}}{2\lambda r} \left( \iint_S [\vec{e}_r \wedge 2\vec{M}(\vec{r}')] e^{jk\vec{e}_r \cdot \vec{r}'} d^2 r' \right)$$

$$\vec{E}(\vec{r}) \underset{r \rightarrow \infty}{\approx} \frac{je^{-jkr}}{\lambda r} \left( \iint_S [\vec{e}_r \wedge (\vec{E}(x', y', 0) \wedge \vec{e}_z)] e^{jk(\sin \theta \cos \varphi x' + \sin \theta \sin \varphi y')} dx' dy' \right)$$



# Directivité d'une ouverture plane

La directivité d'une ouverture plane de surface  $S$  présente un maximum absolu:

$$D_{\max} = \frac{4\pi S}{\lambda^2}$$

L'égalité peut être obtenue pour une ouverture dont le champ électrique  $\vec{E}(x', y', 0) e^{jk(\sin \theta \cos \varphi x' + \sin \theta \sin \varphi y')}$  est constant sur toute la surface de l'ouverture.

## Cas d'une ouverture à polarisation linéaire, avec un rayonnement maximum sur la normale

En prenant, par exemple, une polarisation parallèle à Oy:

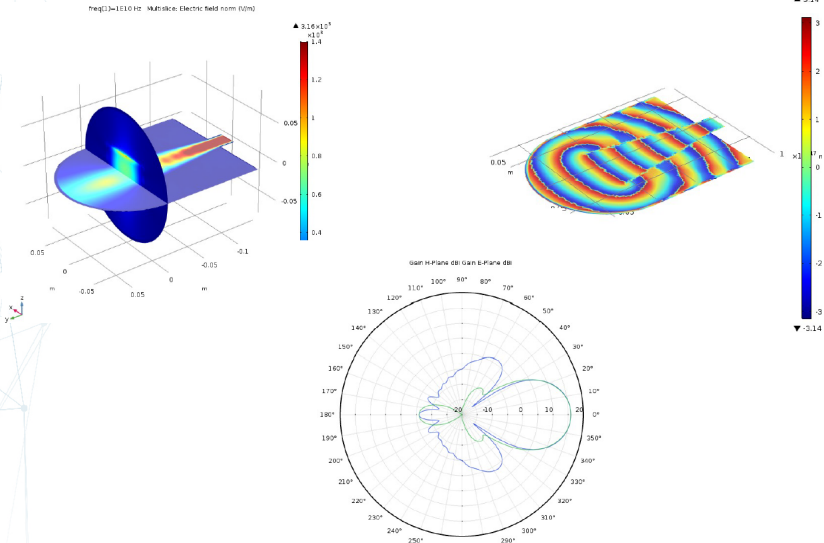
$$D_{\max} = k_{apperture} \frac{4\pi S}{\lambda^2}$$

Où le **coefficent d'efficacité d'ouverture**  $k_{apperture}$  est donné par:

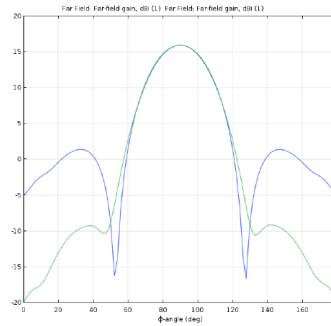
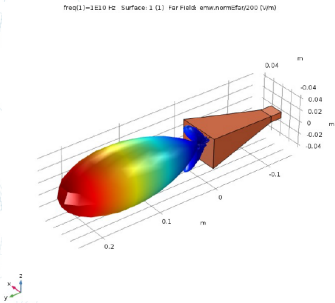
$$k_{apperture} = \frac{S_{efficace}}{S_{géométrique}} = \frac{\left| \iint_S E_y dx' dy' \right|^2}{S_{géométrique} \iint_S \|E_y\|^2 dx' dy'} \leq 1$$

Une valeur  $50\% \leq k \leq 80\%$  est assez courante.

# Cornet rectangulaire



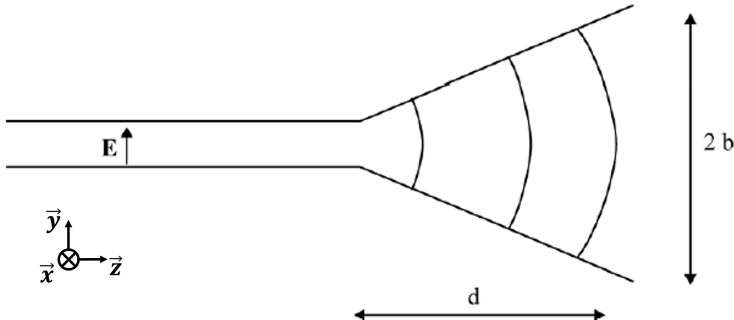
# Cornet rectangulaire



Surface de l'ouverture du cornet: 67,56 mm x 49,53 mm  
Valeur de l'efficacité de l'ouverture?

## Cornet rectangulaire: modèle approché

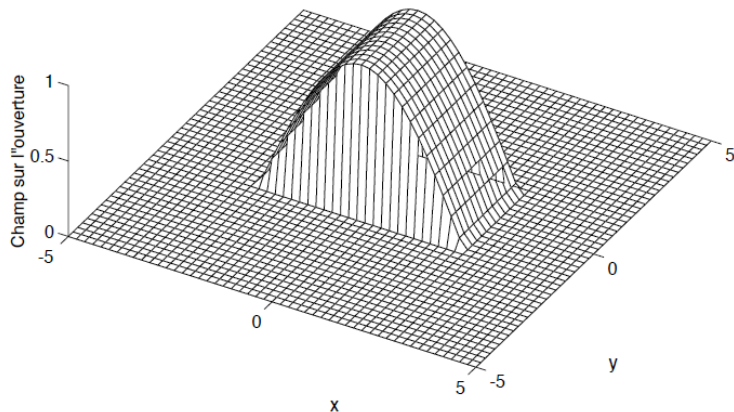
On modélise un cornet de dimensions  $2a \times 2b$  par une ouverture sur laquelle existe un champ du type “TE<sub>10</sub> dilaté”, avec une phase sphérique:



$$E_y(x, y) = E_0 \cos\left(\frac{\pi x}{2a}\right) e^{-j\frac{2\pi}{\lambda}\sqrt{x^2+y^2+d^2}}$$

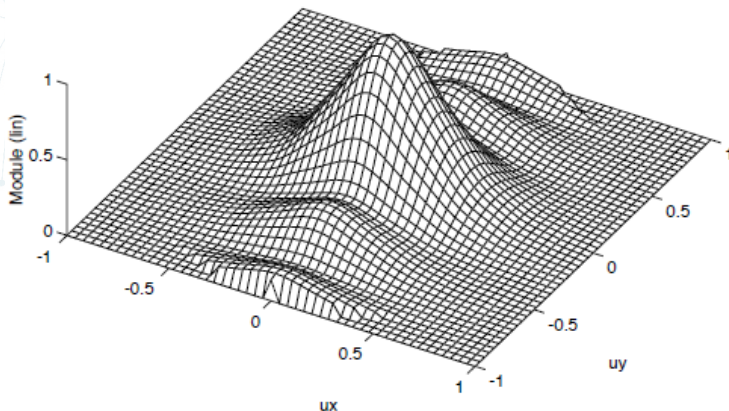
## Cornet rectangulaire: modèle approché

Soit, pour un cornet tel que  $2a = 5\lambda$ ,  $2b = 2.5\lambda$ ,  $d = 5\lambda$ :



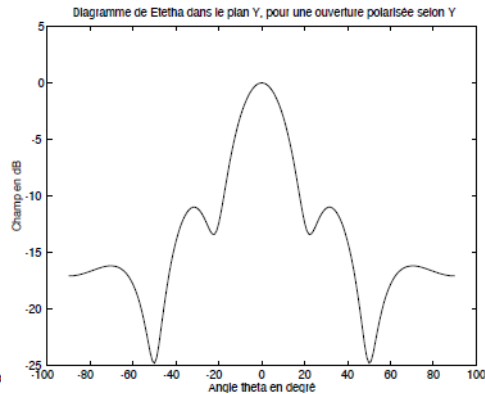
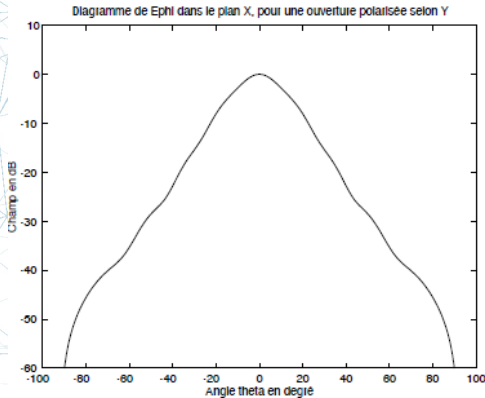
# Cornet rectangulaire: modèle approché

Diagramme de rayonnement:



# Cornet rectangulaire: modèle approché

Diagramme de rayonnement:



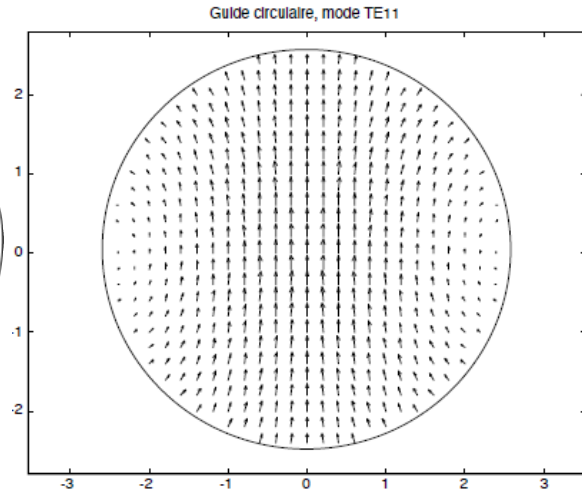
# Intérêt d'un cornet, par rapport à un simple guide d'onde ouvert

Plus grande surface d'ouverture  $\Rightarrow$  antenne plus directive

Coefficient de réflexion quasi nul dans une "large" bande  $\Rightarrow$  meilleure adaptation

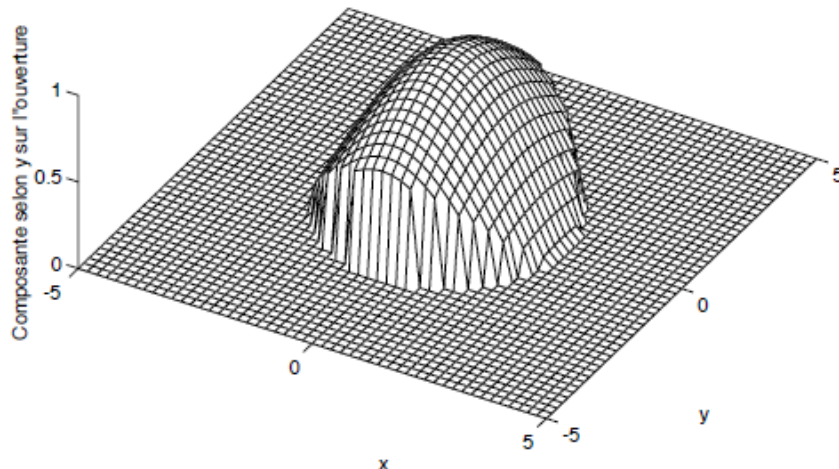
# Cornet circulaire: modèle approché

Mode  $TE_{11}$ :



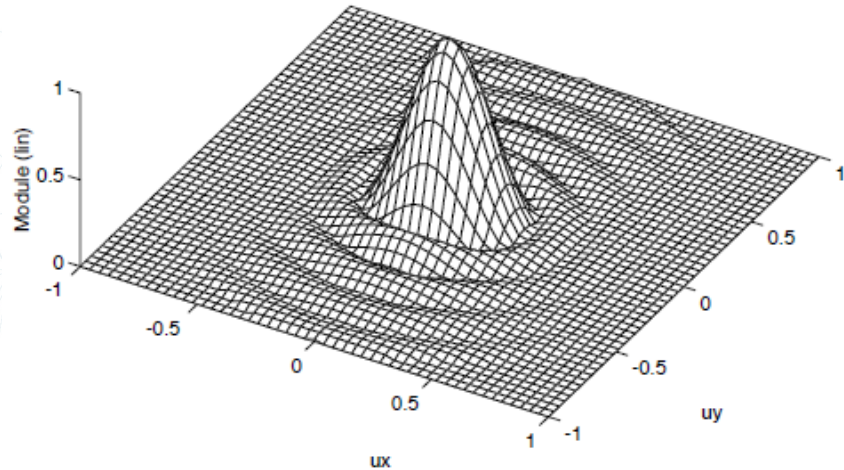
# Cornet circulaire: modèle approché

Composante verticale du champ sur l'ouverture:

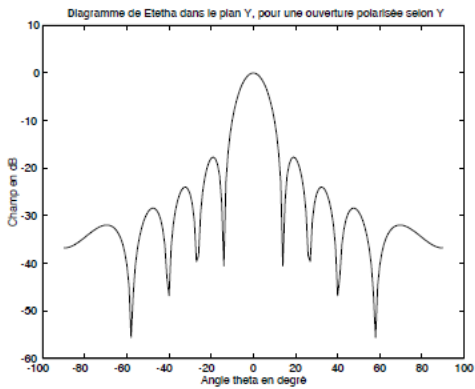
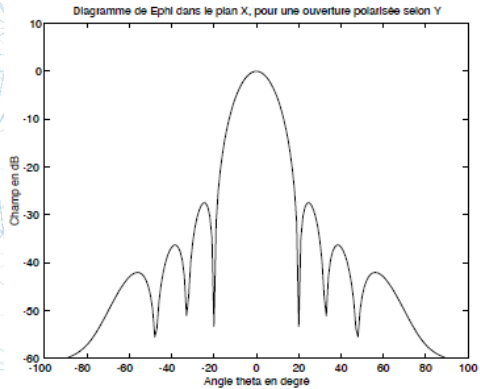


# Cornet circulaire: modèle approché

Diagramme en polarisation verticale:

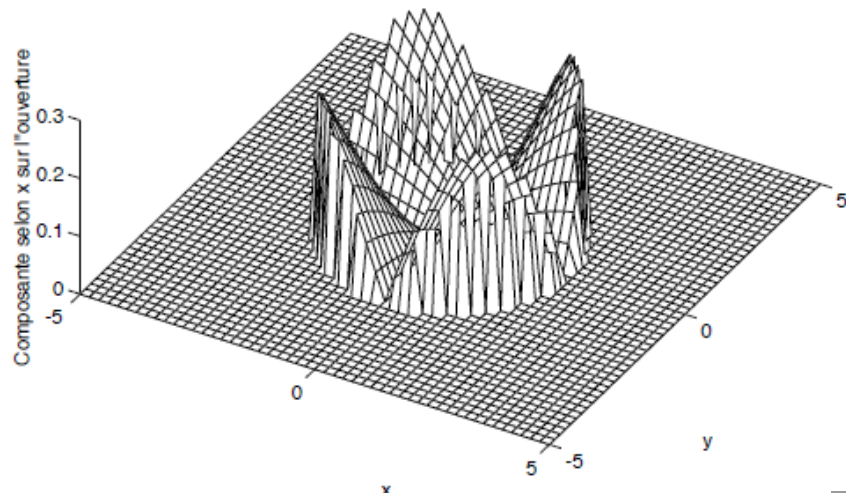


# Cornet circulaire: modèle approché



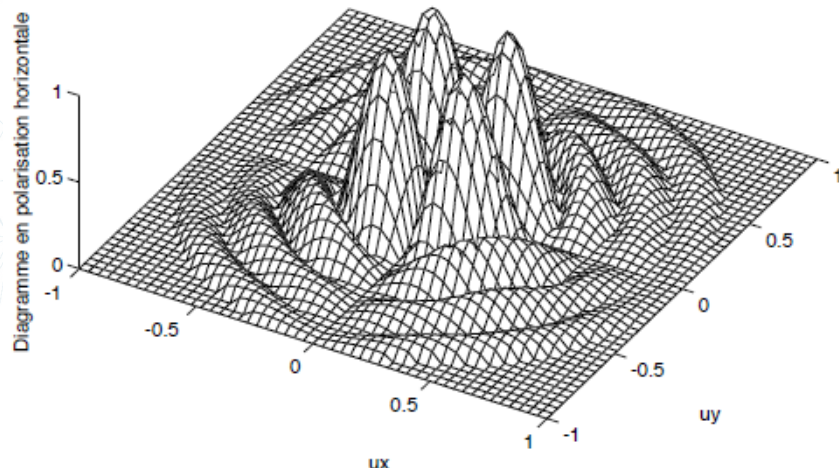
# Cornet circulaire: modèle approché

Composante horizontale du champ sur l'ouverture:

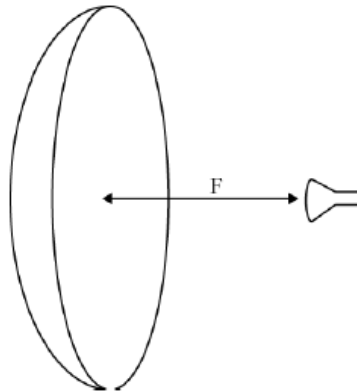


# Cornet circulaire: modèle approché

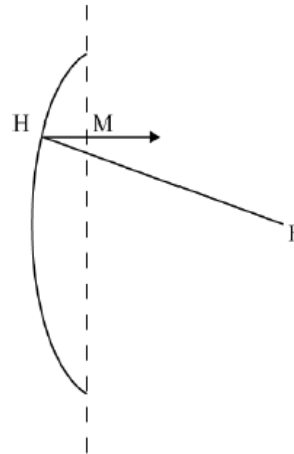
Diagramme de rayonnement en polarisation croisée:



# Antenne à réflecteur parabolique



Ouverture équiphase:



$$FHM = \text{constante}$$

# Antenne à réflecteur parabolique

Ouverture équi-phase  $\Rightarrow$  Gain et directivité maximum possible pour la surface choisie.

On obtient souvent une valeur de  $k$  proche de 0,8.